

群馬工業高等専門学校 正会員 ○山本好克  
東京都立大学大学院 学生員 余湖由紀夫

1. まえがき：本研究は、海浜変形と漂砂に関する基礎資料を得るために、波による底質のふるい分けを主眼とし、Eaglesonの砂粒の運動に関する理論の不足点を補正し、底質として“メカライト”を用い、大小の粒径が一様に分布するように配合して、二次元海浜模型について実験を行ひ、理論との比較検討を試めた。

2. 砂粒の運動；微小振幅波における波の速度和テンシャルを、 $\Phi = A \cosh k(\bar{z}+h) \sin(kx-\tau t)$  (1) とおき、水粒子の水平速度  $U_4$  を求めると次式のとくになる。 $U_4 = kA \cosh k(\bar{z}+h) \cos(k\bar{z}-\tau t) + \frac{k^3 A^2}{2t} [\cosh 2k(\bar{z}+h) - \cos(k\bar{z}-\tau t)]$  (2)

i) 砂粒の初期運動：図-1において、砂粒の支承  $A$  ( $A$  は  $A'$ ) に関する釣合式を考えると、

$$P_3 \frac{\pi D^3}{16} U_4^2 [C_0(1+\cos\phi_s) + C_L \sin\phi_s] = P_3 \left( \frac{S_3}{S_4} - 1 \right) g \frac{\pi D^4}{12} \sin(\phi_s \pm \alpha) \quad (3)$$

ここに  $\alpha$  : 砂斜面勾配、 $\phi_s$  : 砂の水中安息角、 $S_3, S_4$  : 砂粒と流体の比重

ここで  $C_0 = 19.2V/4tD$ ,  $C_L = 0.85C_0$ ,  $\cos\alpha \approx 1$  とおき、(2)式において、 $\bar{z} = -h$  で波の峰

( $k\bar{z}-\tau t = 0^\circ$ ) が通過する時の移動限界の粒径  $D_{it}$  は、深海波高  $H_0$ 、波長  $L_0$  を用いて表わすと(4)式に、また波の谷 ( $k\bar{z}-\tau t = 180^\circ$ ) が通過する時の移動限界の粒径  $D_{ib}$  は、(5)式となる。

$$D_{it} = \left\{ 26.9V T \frac{S_4}{S_3-S_4} \left( \frac{H_0}{L_0} \right) \frac{f_2(\eta/\zeta)}{\tan\phi_s + \sin\alpha} \right\}^{1/2} \quad (4), \quad D_{ib} = \left\{ 26.9V T \frac{S_4}{S_3-S_4} \left( \frac{H_0}{L_0} \right) \frac{f_2(\eta/\zeta)}{\tan\phi_s - \sin\alpha} \right\}^{1/2} \quad (5)$$

ここで  $f_2(\eta/\zeta) = \{(\sinh kh)^2 \tanh kh + kh(\tanh kh)^2\}^{-1/2}$

ii) 砂粒の確定移動：砂粒子の運動の速度  $U_6$  が、水粒子の速度  $U_4$  に比べ非常に小さく仮定すると、斜面上岸向きに砂粒が動く場合の運動方程式は次式のとくになる。

$$M_3 \frac{dU_6}{dt} = M_3 \frac{dU_4}{dt} + C_0 M_3 \left( \frac{dU_4}{dt} - \frac{dU_6}{dt} \right) + C_0 f_2 \frac{\pi D^2}{8} [U_4 - U_6] - g(M_3 - M_f) \sin\alpha - E \{ g(M_3 - M_f) \cos\alpha - C_L f_2 \frac{\pi D^2}{8} U_4^2 \} \frac{U_6}{U_4} \quad (6)$$

ここに  $M_3, M_f$  : 砂粒と流体の質量、 $C_0, C_L$  : 拾力と揚力係数、 $C_M$  : 貨量力係数、 $E$  : 摩擦係数

ここで  $G = C_0 f_2 \frac{\pi D^2}{8} [U_4 - U_6]$ ,  $G' = C_L f_2 \frac{\pi D^2}{8} [U_4]$ ,  $\frac{M_f(1+C_M)}{M_3+C_M M_f} = N_1$ ,  $\frac{G+EG'}{M_3+C_M M_f} = N_2$ ,  $\frac{g(M_3-M_f)}{M_3+C_M M_f} (\sin\alpha + E \cos\alpha) = N_3$

とおくと、(6)式は次式になる。

$$\frac{dU_6}{dt} = N_1 \frac{dU_4}{dt} + N_2 U_4 - N_3 \quad (7)$$

(2)式じ、 $\bar{z} = -h$  とおいて(7)式に代入し、砂粒の移動距離として、波の峰が通過( $U_4 > 0$ )する  $t_1 = -T/4$  から  $t_2 = T/4$  までの  $T/2$  時間で積分し、かひの積分定数を求めてやると、移動距離  $l_{si}$  は次式のとくになる。(但し  $\zeta = 0$  と仮定)

$$l_{si} = 2 \frac{NKA}{T} + \frac{NKA^2}{20} T - \frac{NKA^2}{40} T^2 + \frac{NKA^2}{160} T^3 - \frac{NKA}{8} T^4 \quad (8)$$

波の谷が通過することによる砂粒の移動については、その基本式は(7)式にあり、 $N_3$  の代わりに  $N'_3 (= \frac{g(M_3-M_f)}{M_3+C_M M_f} \times (\sin\alpha - E \cos\alpha))$  を入れ、 $t_3 = T/4$  から  $t_4 = 3T/4$  まで積分し、かひの積分定数を求めてやると、移動距離  $l_{sz}$  は、次式のとくになる。

$$l_{sz} = 2 \frac{NKA}{T} - \frac{NKA}{20} T + \frac{NKA^2}{40} T^2 + \frac{NKA^2}{160} T^3 - \frac{NKA}{8} T^4 \quad (9)$$

よって、一周期下面に砂粒が移動する距離  $l_s$  は、次式にある。

$$l_s = l_{si} + l_{sz} = \frac{NKA^2}{80} T^2 - \frac{NKA^2}{20} T - \frac{1}{8} (N_3 + N'_3) T^2 \quad (10)$$

また砂粒の平均移動速度  $U_s$  は、 $U_s = \frac{l_s}{T} = \frac{g+EG'}{M_3+C_M M_f} \frac{\pi D^2}{80} T - \frac{M_f(1+C_M)}{M_3+C_M M_f} \frac{KA^2}{20} T - \frac{T}{4} \frac{g(M_3-M_f)}{M_3+C_M M_f} \sin\alpha$  (11)

ここで  $C_M = 0.6$ ,  $\bar{U}_4 = \frac{k^3 A^2}{2t} = \frac{1.77 V k}{2t (\sinh kh)^2}$  とおき、 $U_s = 0$ 、すなはち砂粒が移動するは往復運動をする粒径  $D_e$  を  $H_0$ ,  $L_0$  を用いて求めると次式のとくになる。

$$D_e = \left\{ \frac{0.225 \pi L_0 T \left( \frac{H_0}{L_0} \right)^2 \left( \frac{V}{L_0} \right)^2}{(S_3 - S_4) \sin\alpha + 0.2 T \left( \frac{H_0}{L_0} \right)^2 f_2(\eta/\zeta)} \right\}^{1/2} \quad (12), \quad \text{ここで } f_2(\eta/\zeta) = \frac{(\cosh kh)^2}{(\sinh kh)^2 + kh}$$

iii) 底質の粒径分布：(12)式は、勾配の水深での確定移動のない粒径を与える。この  $D_e$  より大きい砂は重力の作用で沖の方に向て移動し、小さい砂は波の流体力によつて、岸方向に移動する。また(4)式の  $D_{it}$  より大きい砂は波の峰の通過による水粒子運動によつても岸方向には移動しないし、(5)式の  $D_{ib}$  より大きい砂は波の谷の通過によつても岸方向には移動しない。

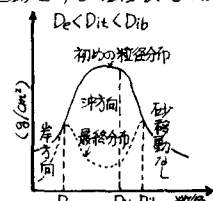


図-2. 粒径分布

堆積物の移動には移動しており、したがって、図-2 に示すように、長時間の波の作用の後、粒径の大きさにより、二つの山形の分布が形成されることになる。

### 3. 実験装置及び方法と実験結果；

図-3 に示すように、長さ 27m、幅 50cm、深さ 80cm の鋼鉄両面ガラス張りの二次元造波水槽内に、図-4 に示す粒径分布の“メラライト”を用い、 $1/10$  の一様勾配で高さ 70cm まで盛り上げ、その以後を水平とした模型海岸を構築し、水深を 50cm として、表-1 に示す実験条件のもとに、丸井等の研究から、3 万波当てらすことによて、海岸は平衡状態に達したと判断し、冲波波高  $H_0$ 、碎波位置、碎波水深、碎波波高、波の上り高さなどを眼（側面ガラス面上に作製）及びスケールを用いて測定した。また平衡勾配の特徴的な位置を位置数ヶ所を選んで調査点とし、各調査点を中心として、5cm程度の幅で、表面約 3cm の砂を採取して粒度分析を行は、た。実験結果上、水温  $10^{\circ}\text{C}$  の動粘性係数  $\nu = 0.013 \text{ cm}^2/\text{s}$ 、メラライトの水中安息角  $\tan\phi_s = 0.64$  を用ひた  $D_e$ 、 $D_{it}$ 、 $D_b$  の計算値及び Eagleson による  $D_e$ 、 $D_{it}^{(3)}$  を比較すると、図-5 のごとくである。

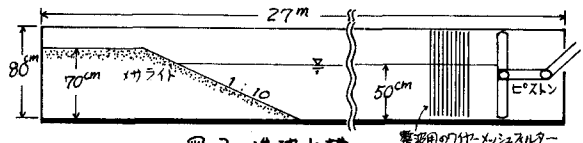


図-3. 造波水槽

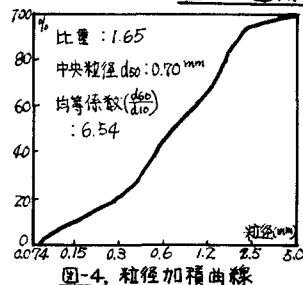


図-4. 粒径加積曲線

	周期 T(sec)	水深 h(cm)		周期 T(sec)	水深 h(cm)
1-1	1.0	5.0	Case 2-2	1.4	9.9
2	1.2	5.3	3	1.7	9.8
3	1.4	5.3	4	2.0	9.8
4	1.6	5.1	5	2.3	9.5
5	2.0	4.8	3-1	1.4	2.8
6	2.4	4.5	2	7.4	3.0
7	2.8	4.5	3	7.4	12.7
2-1	7.1	10.0	4	7.4	13.0

表-1. 実験条件

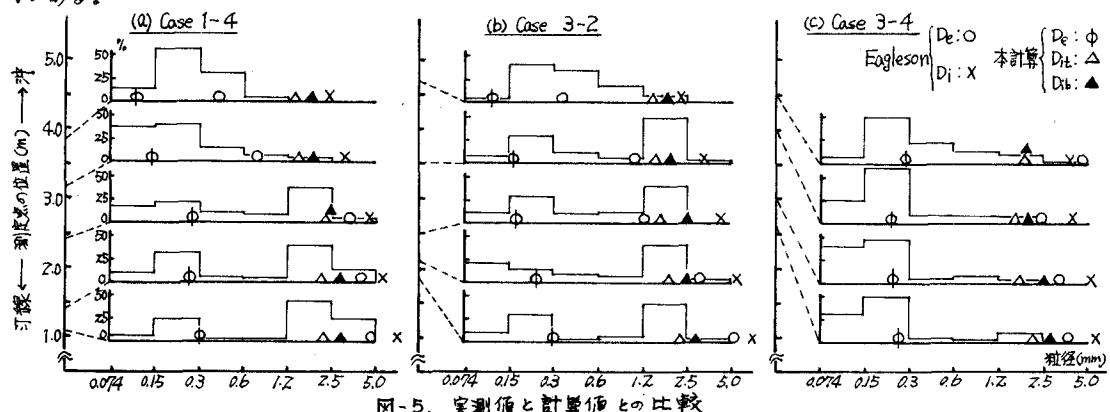


図-5. 実測値と計算値との比較

4. 結論； 2.-iii) で述べたように、平衡状態での粒径分布は、二つの山形が形成することになるが、実験結果の例図-5-(c) では、一つの山形が形成された。このことと浮遊砂によるものと考えると、(4)、(5) 及び (12) 式による計算値と実験結果とは非常に良く一致を示しておるが、Eagleson の式による計算値は、やや実験値とは異なる。これは、本研究では、波の作用は 1 サイクルだけであるとしたが、又、波の 1 サイクルに波の峰と谷の通過による水粒子運動を区別した点によるものと考えられる。又、(6) 式より仮定は適切であつたと思われる。

今後、初期勾配、波形勾配等を幅広く変えて実験を行は、本計算法の検討を加えていきたいと考える。

最後に、本研究に關し、終始御指導下さった東京都立大学の丸井信雄先生、及び適切な助言を下さった坂田新太郎先生に対し、深謝する次第です。

#### [参考文献]

- (1) Eagleson, P.S., R.G. Dean and L.A. Peralta : "The Mechanics of the Motion of Discrete Spherical and Bottom Sediment Particles due to Shoaling Waves" Tech. Memo., No. 104 (1958), B.E.B., (2) N. Marui, S. Hotta and T. Aiwa : "Experimental Study of the Two Dimensional Equilibrium Profiles of Beaches with the Steep Initial Slopes" Tech. Memo., No. 21 (1971), Tokyo Metropolitan Univ., (3) 井島武士："海岸水理学" 水工学便覧